



## عیب‌یابی ورق چند لایه کامپوزیتی با آسیب جدایی بین لایه‌ای با استفاده از آموزش شبکه عصبی برنایلی پاسخ ارتعاشات آزاد

محمد جواد محمودی<sup>۱\*</sup>، اراز محمد فخری اینچه برون<sup>۲</sup>

۱- استادیار، مهندسی مکانیک، دانشگاه شهید بهشتی، تهران

۲- دانشجوی کارشناسی ارشد، مهندسی مکانیک، دانشگاه شهید بهشتی، تهران

\* تهران، صندوق پستی 167651719

### چکیده

در این پژوهش از شبکه عصبی پس انتشار خطای برای عیب‌یابی ورق کامپوزیتی چندلایه با جدایی بین لایه‌ای استفاده می‌شود. نحوه عیب‌یابی به این صورت است که ابتدا تحلیل ارتعاشات آزاد ورق کامپوزیتی بر اساس روش عددی اجزای محدود انجام می‌گیرد و فرکانس‌های طبیعی در مودهای خاص به ازای مدل‌های مختلفی از آسیب جدایی بین لایه‌ای (اندازه، هندسه و موقعیت منطقه با جدایی بین لایه‌ای) بدست می‌آید و سپس فرکانس‌های طبیعی استخراجی از مدل به عنوان ورودی و پارامترهای اندازه، هندسه و موقعیت نیز به عنوان خروجی شبکه عصبی در نظر گرفته می‌شوند. ورق کامپوزیتی 8 لایه، بر اساس تئوری سبدی الاستیسیته و با درنظر گرفتن المان‌های شش وجهی آخری مدل می‌شود لذا در مدل سازی ورق کامپوزیتی تاثیر تغییر شکل‌های برشی عرضی در نظر گرفته می‌شود. به دلیل پیچیدگی فرایند حاکم بر مسئله ورق کامپوزیتی با جدایی بین لایه‌ای از قابلیت‌های نرم‌افزار آباکوس برای مدل سازی استفاده می‌شود. همچنین نتایج عددی حاصل از روش اجزای محدود با داده‌های عددی و آزمایشگاهی در دسترس مورد مقایسه و اعتبارسنجی قرار می‌گیرد. از دو روش آموزش لونبرگ-مارکوارت و پس انتشار خطای انعطاف‌پذیر برای آموزش شبکه عصبی و مقایسه پاسخ‌ها استفاده می‌شود. نتایج پیش‌بینی با روش آموزش لونبرگ-مارکوارت تطابق سیار خوبی با مقادیر بدست آمده از روش اجزای محدود دارد. بعد از آموزش شبکه عصبی، از تعمیم این مدل برای پیش‌بینی و عیب‌یابی آسیب در ورق کامپوزیتی استفاده می‌شود.

### اطلاعات مقاله

مقاله پژوهشی کامل

دربافت: ۰۵ دی ۱۳۹۵

پذیرش: ۲۵ اسفند ۱۳۹۵

ارائه در سایت: ۱۳ اردیبهشت ۱۳۹۶

کلید واژگان:

ورق کامپوزیتی چندلایه

آسیب جدایی بین لایه‌ای

عیب‌یابی بر مبنای آنالیز مدول

شبکه عصبی پس انتشار خطای

## Fault detection of laminated composite plate with delamination damage using neural network training based on the free vibration response

Mohammad Javad Mahmoodi\*, Araz Mohammad Fakhri Incheborun

Faculty of Mechanical and Energy Engineering, Shahid Beheshti University, Tehran, Iran  
\* P.O.B. 167651719, Tehran, Iran, mj\_mahmoudi@sbu.ac.ir

### ARTICLE INFORMATION

Original Research Paper

Received 25 December 2016

Accepted 15 March 2017

Available Online 03 May 2017

#### Keywords:

Laminated composite plate

Delamination

Fault detection based on modal analysis

Error back-propagation neural network

### ABSTRACT

In this study, error back-propagation neural network is used for fault detection of composite plate with delamination damage. At the first step of the fault detection process, a free vibration analysis of laminated composite plates is performed based on numerical finite element method and the natural frequencies of individual modes is obtained for different delamination models (size, geometry and location of the delamination region). Then natural frequencies extracted from the model are considered as the input parameter and the size, geometry and location of the delamination region are also considered as the output parameters of the neural network. 8-layers composite plate is modeled based on the three-dimensional elasticity theory and considering hexagonal brick elements. So, transverse shear deformations effect is taken into account in the modeling of composite plate. ABAQUS software capabilities are used for modeling because of the complexity of process governing on the composite plate with delamination. The numerical results obtained by the finite element method are compared and validated with available numerical and experimental data. Two training methods including Levenberg - Marquardt and Error propagation flexible algorithm are used to train the neural network and compare responses. Predicted results by Levenberg - Marquardt training method are in very good agreement with the values obtained by the finite element method. After training the neural network, the model generalization is used for the damage prediction and detection in composite plate.

مشترک لایه‌ها می‌باشد که اصطلاحاً جدایی بین لایه‌ای<sup>۲</sup> نامیده می‌شود. این

نوع آسیب با تنش‌های بین لایه‌ای تحریک شده و بدلیل تغییر پارامترهایی

مود اصلی آسیب<sup>۱</sup> برای کامپوزیت‌های چندلایه، جدایی در امتداد فصل

<sup>2</sup> Delamination

<sup>1</sup> Damage

#### Please cite this article using:

M. J. Mahmoodi, A. M. Fakhri Incheborun, Fault detection of laminated composite plate with delamination damage using neural network training based on the free vibration response, *Modares Mechanical Engineering*, Vol. 17, No. 5, pp. 221-231, 2017 (in Persian)

برای ارجاع به این مقاله از عبارت ذیل استفاده نمایید:

کامپوزیتی و تاثیر عواملی چون اندازه، هندسه و موقعیت منطقه با جدایی بین لایه‌ای روی فرکانس‌های طبیعی توصیف می‌شود. به دلیل پیچیدگی فرایند حاکم بر مسئله ورق کامپوزیتی با جدایی بین لایه‌ای از قابلیت‌های نرم‌افزار آباکوس برای مدل‌سازی استفاده می‌شود. همچنین در مناطق با جدایی بین لایه‌ای جهت جلوگیری از نفوذ پذیری لایه‌ها، از المان‌های فتر مجازی موجود در نرم‌افزار آباکوس استفاده می‌شود. ورق کامپوزیتی ۸ لایه، براساس تنوری سه‌بعدی الاستیستیه و با درنظر گرفتن المان‌های شش وجهی آجری مدل می‌شود. همچنین تاثیر تغییر شکل برشی عرضی در مدل‌سازی ورق کامپوزیتی لحاظ شده است. در این پژوهش از شبکه عصبی پس انتشار خطای برای عیب‌یابی ورق کامپوزیتی چندلایه با آسیب جدایی بین لایه‌ای استفاده می‌شود. ابتدا تحلیل ارتعاشات آزاد ورق کامپوزیتی براساس روش عددی اجزای محدود انجام می‌گیرد و فرکانس‌های طبیعی در مودهای خاص به ازای مدل‌های مختلفی از آسیب جدایی بین لایه‌ای (اندازه و موقعیت منطقه با جدایی بین لایه‌ای) به دست می‌آید و سپس فرکانس‌های طبیعی استخراجی از مدل به عنوان ورودی و پارامترهای اندازه و موقعیت نیز به عنوان خروجی شبکه عصبی درنظر گرفته می‌شوند. از دو روش آموزش لونبرگ-مارکوارت و پس انتشار خطای انعطاف‌پذیر برای آموزش شبکه عصبی و مقایسه پاسخ‌ها استفاده می‌شود.

## 2- مدل‌سازی برمنای روش ناحیه چسبناک

یکی از روش‌هایی که برای پیش‌بینی و شروع و رشد جدایی بین لایه‌ای به کار می‌رود، المان فصل مشترک<sup>۴</sup> یا المان ناحیه چسبناک<sup>۵</sup> می‌باشد [24]. امروزه از این روش در نرم‌افزارهای اجزاء محدود به ویژه آباکوس<sup>۶</sup> استفاده می‌شود. این المان‌ها به صورت مدلی با ضخامت بسیار کم و نزدیک به صفر در بین لایه‌های جدا شده درنظر گرفته می‌شود. "شکل 1" شماتیکی از المان چسبناک را بین لایه‌های جدا شده از یک کامپوزیت نشان می‌دهد.

چاهه‌جایی گره‌ها تحت بارگذاری‌های اعمالی به مولفه‌های نرمال و برشی تقسیم می‌شود. توصیف رفتار جدایی بین لایه‌ای با استفاده از این المان‌ها مبتنی بر مودهای شکست و معیارهای انرژی می‌باشد [24]. برای بررسی این رفتار در نرم‌افزار آباکوس می‌توان از قانون جدایی ترکشن<sup>۷</sup> استفاده نمود که ابزاری قدرتمند برای شبیه‌سازی جدایی بین لایه‌ای و پیش‌بینی شروع و رشد آن به کمک معیارهای خرابی می‌باشد. در اصل مدل جدایی ترکشن در نرم‌افزار آباکوس به صورت الاستیک خطی فرض می‌شود، که برای بیان آن تانسور الاستیک  $K^T$  تعريف می‌شود که تنش‌های اسمی (بردار ترکشن)،  $(\tau_{n}, \tau_{s}, \tau_{t}) = \Delta^T = (\delta_n, \delta_s, \delta_t)$  که در امتداد سطح میانی است. "شکل 2" نمودار دو

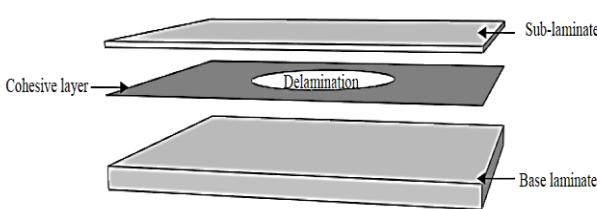


Fig. 1 A schematic of the delamination model with cohesive element [24]

شکل 1 شماتیکی از مدل جدایی بین لایه‌ای به همراه المان چسبناک [24]

<sup>4</sup> Interface element

<sup>5</sup> Cohesive zone element

<sup>6</sup> Abaqus

<sup>7</sup> Traction separation law

همچون تاثیر گوشه و لبه آزاد<sup>۱</sup>، ناپیوستگی‌های ساختاری، آسیب‌های موضعی در حین ساخت و در شرایط کاری مثل ضربه، سوراخ‌کاری در هنگام ساخت، تغییرات رطوبت و درجه حرارت و مکانیزم‌های داخلی شکست همچون ترکهای زمینه<sup>۲</sup>، رشد می‌کند [1]. این عیب می‌تواند باعث تغییر در خصوصیات فیزیکی ماده مرکب شده، معمولاً روی توزیع جرم اثری نمی‌گذارد، اما سفتی ساختاری را کاهش داده و منجر به تغییر پارامترهای مودال از جمله کاهش فرکانس طبیعی آن می‌شود که نهایتاً این امر کاهش عمر سازه را به همراه دارد.

حقوقان زیادی به بررسی تحلیلی، عددی و آزمایشگاهی پیرامون پدیده جدایی بین لایه‌ای با درنظر گرفتن پارامترهای آسیب تحت شرایط مختلف بارگذاری پرداختند [7-2]. در سال 2003 لتو و همکارانش از المان ورق و تشوری لایر وایز<sup>۳</sup> برای مدل‌سازی جدایی بین لایه‌ای در ورق کامپوزیتی استفاده کردند. این مدل به صورت دو بعدی برای المان ورق تعریف شد [8].

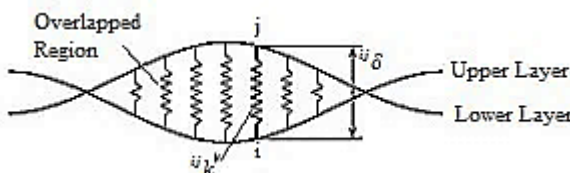
حقوقان بسیاری با استفاده از تکنیک‌های مبتنی بر ارتعاشات و تست‌های غیرمغرب، به شناسایی آسیب در ورق‌های کامپوزیتی چندلایه پرداخته‌اند [9-15]. بعدها گابلرب تغییر پارامترهای مودال تیر با جدایی بین لایه‌ای را برای شرایط مزی مختلف بررسی نمود [16]. النافای در سال 2009 به کمک روش المان محدود مدلی را برای آسیب جدایی بین لایه‌ای در چندلایه‌های کامپوزیتی ارائه کرد [17]. هاربیسون و باتلر از دو روش بهینه‌کننده کاهش گرادیان و الگوریتم ژنتیک برای موقعیت‌یابی تیرهای کامپوزیتی استفاده نمودند [18]. ناگ و همکارانش جدایی بین لایه‌ای را با استفاده از الگوریتم ژنتیک شناسایی کردند [19]. اکافور با درنظر گرفتن تاثیر ضربه پواسون و تغییر شکل برشی عرضی فرکانس‌های طبیعی تیر و اندازه و موقعیت جدایی بین لایه‌ای را تخمین زد [20]. اسلام و کرایگ از ترکیب شبکه‌های عصبی و سنسورهای پیزوالکتریک برای عیب‌یابی آسیب در سازه‌های کامپوزیتی استفاده کردند [21]. زنگ به کمک روش المان محدود و با به کارگیری الگوریتم فازی به پیش‌بینی آسیب در تیر کامپوزیتی چندلایه پرداخت [22]. در این میان، شبکه عصبی مصنوعی یک سیستم پردازش اطلاعات است که الهام گرفته شده از شبکه عصبی طبیعی و ساختار مغز انسان می‌باشد. به عبارتی این شبکه‌ها یافته مدل‌های ریاضی تشخیص انسان براساس زیست‌شناسی عصبی هستند. شبکه‌های عصبی مصنوعی با پردازش داده‌ها، دانش یا قانون نهفته در ورای داده‌ها را به ساختار شبکه منتقل می‌کنند و لذا روشی قوی برای شناخت و مدل‌سازی سیستم‌های پیچیده می‌باشد. در سیستم‌هایی که ارتباط واضح و ساده‌ای بین پارامترهای حاکم بر مسئله وجود ندارد، شبکه عصبی مصنوعی می‌تواند نگاهی نگاشت کلی، مقاومت در برابر داده‌های نویزی و توانایی یادگیری با آموزش نظارت شده برای عیب‌یابی استفاده می‌شوند [23].

در مقاله حاضر برخلاف مدل‌هایی که برای تحلیل آسیب در تیرها به صورت دو بعدی استفاده شده است، از مدل کاملاً سه‌بعدی استفاده می‌شود. با استفاده از این مدل، پدیده جدایی بین لایه‌ای در ورق‌های

<sup>1</sup> Free edge effect

<sup>2</sup> Matrix cracking

<sup>3</sup> Layerwise



شکل ۴ المان فنر مجازی برای جلوگیری از نفوذ لایه‌ها

[29-26]. "شکل ۴" نمونه‌ای از کاربرد المان‌های مجازی را نشان می‌دهد. هر المان فنر مجازی یک ثابت سختی  $k$  مربوط به خود را دارد. تغییرات جابه‌جایی گره‌های مجاور هم در منطقه شامل جدایی بین لایه‌ای به مقدار زیادی به پارامتر  $k$  وابسته است [29,28]. در واقع المان فنر مجازی با سختی مشخص به عنوان یک قید اضافی مطرح می‌باشد که می‌تواند تا حدودی منجر به افزایش فرکانس‌های ارتعاشی شود. برای محدودیت کامل حرکت گره‌ها در مناطق با جدایی بین لایه‌ای بهویژه در مناطقی با مساحت زیاد، می‌توان از فنرهایی با ثابت  $N/m^6$  استفاده نمود که فرکانس‌های طبیعی را افزایش می‌دهد. اگر سختی این المان‌های مجازی بیشتر از یک مقدار خاص باشد، منجر به واگرایی جواب می‌شود و اگر این مقدار کمتر از یک مقدار مشخص باشد، حرکت گره‌های مجاور روی سطوح آزاد شامل جدایی بین لایه‌ای محدود نمی‌باشد. در اکثر موارد اگر فنرهای مجازی با ثابت بیشتر از  $0.1 N/m$  انتخاب شود، نفوذپذیری لایه‌ها بهم اتفاق نمی‌افتد. مقادیر سختی برای شبیه‌سازی مناسب پدیده جدایی بین لایه‌ای برای حالت‌های مختلف، متفاوت می‌باشد.

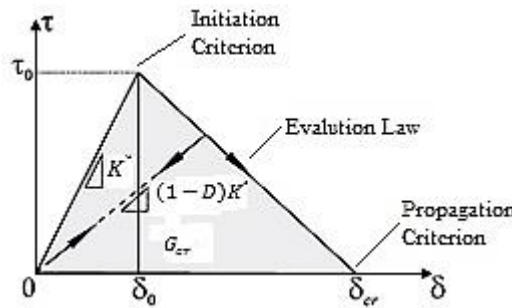
برای تحلیل عددی و شبیه‌سازی جدایی بین لایه‌ای و به دست آوردن فرکانس‌های طبیعی از نرم افزار آباکوس نسخه 6.13 استفاده می‌شود و تاثیر پارامترهایی مثل اندازه<sup>۳</sup> ( $a$ ), خروج از مرکزی<sup>۴</sup> ( $a/b$ ) و موقعیت<sup>۵</sup> (فاصله  $x$  و  $y$ ) و  $\alpha$  مرکز منطقه با جدایی بین لایه‌ای از مرکز لایه چسبناک را و فرکانس‌های طبیعی بررسی می‌شود. از آنجایی که بعد از این که جدایی بین لایه‌ای در کامپوزیت‌ها اتفاق می‌افتد، منطقه جدایی بین لایه‌ای به صورت دو ایر و یا اشکالی شبیه به بیضی مشاهده می‌شود [32-30,26]. بررسی تاثیرات این عامل روی فرکانس‌های طبیعی در قالب پارامترهای همچون اندازه و خروج از مرکزی بررسی می‌شود.

#### 4- مشخصات ورق لایه‌ای کامپوزیتی

نمونه ورق چند لایه کامپوزیتی مورد بررسی در این مقاله، به منظور اعتبارسنجی و مقایسه با تحقیقات پیشین، یک ورق ۸ لایه با زمینه پلیمری و تقویت شده با الیاف شیشه<sup>۶</sup> می‌باشد. سطح مقطع ورق کامپوزیتی به شکل مربعی به طول ۲۲۵.۵ میلی‌متر و ضخامت کل ۸ لایه ۰.۰۵ میلی‌متر می‌باشد. توزیع جهت‌گیری الیاف در امتداد ضخامت ورق به صورت کد زیر در نظر گرفته می‌شود که // نشان‌دهنده محل جدایی بین لایه‌ای در ورق ۸ لایه کامپوزیتی می‌باشد.

$0^\circ/90^\circ/0^\circ//90^\circ/0^\circ/90^\circ/0^\circ$

همان‌طوری که اشاره شد برای شبیه‌سازی وضعیت واقعی جدایی بین لایه‌ای، یک لایه چسبناک بسیار نازک بین لایه‌های بالا و پایین قرار داده می‌شود. ضخامت این لایه حداقل مقدار ممکن در نرم افزار آباکوس ۰.۰۱ میلی‌متر) در نظر گرفته می‌شود. با در نظر گرفتن المان‌های شش وجهی آجری



شکل ۲ نمودار دوخطی قانون جدایی ترکشن [25]

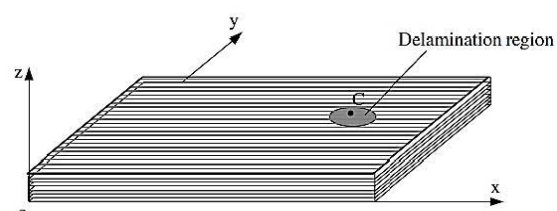
خطی ساده قانون جدایی ترکشن با تعریف عباراتی از ترکشن مؤثر  $\tau$  و جابجایی بازشدنی مؤثر  $\delta$  را نشان می‌دهد [25].

بدیهی است که رابطه‌ی بین اثرات ترکشن و اثرات جابجایی بازشدنی توسط سه پارامتر تعریف می‌شود، که دو عدد از آن‌ها منحصرآ مربوط به شکست است. این پارامترها شامل، حداکثر ترکشن جابجایی، ( $G_{cr}$ )، مشخصه‌ای از جابجایی بازشدنی بحرانی در شکست ( $\delta_{cr}$ ) و انرژی مورد نیاز برای باز شدن ترک (مساحت زیر نمودار ترکشن جابجایی، ( $G_{cr}$ )) هستند که در "شکل ۲" نشان داده شده است. پارامتر  $D$  معیار خرابی در چارچوب مکانیک آسیب پیوسته است که در محدوده  $0 \leq D \leq 1$  در نظر گرفته می‌شود. معیار شکست ماکزیمم کرنش اسمی برای شروع آسیب در المان چسبنده، با حداکثر مقدار کرنش اسمی  $= 9 \times 10^{-7}$  به عنوان معیار خرابی انتخاب می‌شود [25].

#### 3- شبیه‌سازی پدیده جدایی بین لایه‌ای

نمونه‌ای از ورق کامپوزیتی چند لایه با جدایی بین لایه‌ای داخلی در "شکل ۳" نشان داده شده است. در اینجا فرض شده است که منطقه جدایی بین لایه‌ای بین دو لایه که لایه‌های بالای و پایینی ورق کامپوزیتی نامیده می‌شوند، واقع شده است. برای این که پیوستگی ماده کامپوزیتی حفظ شود، جابه‌جایی و تغییرات هر جفت گره مماس روی لایه‌های بالا و پایین ورق چند لایه یکسان در نظر گرفته شده است. این تغییرات در منطقه‌ای که جدایی بین لایه‌ای اتفاق افتاده است، یکسان نمی‌باشد. برای شبیه‌سازی وضعیت واقعی جدایی بین لایه‌ای، یک لایه چسبناک<sup>۱</sup> بسیار نازک بین لایه‌های بالا و پایین قرار داده شده است.

نکته بسیار مهم این است که وقتی ورق چند لایه در حالت جدایی بین لایه‌ای حرکت می‌کند، از نظر فیزیکی غیرممکن است که لایه‌های بالا و پایین به یکدیگر نفوذ نکنند. بنابراین برای جلوگیری از نفوذپذیری گره‌ها در مناطق مذکور از المان‌های مجازی<sup>۲</sup> به صورت فنر استفاده شده است



شکل ۳ هندسه ورق کامپوزیتی چند لایه با جدایی بین لایه‌ای

<sup>1</sup> Resin  
<sup>2</sup> Virtual elements

انسیس<sup>۴</sup> استفاده شود. این موضوع برای حالتی که تحلیل موردنظر تحلیلی فرکانسی برای پیدا کردن فرکانس‌های طبیعی باشد، درست نیست. از آنجایی که استفاده از المان‌های تماسی ۵۲ یا تماسی ۱۷۸ به نوعی سازه موردنظر را غیرخطی می‌کند و تحلیل فرکانسی نرمافزار انسیس فقط شامل تحلیل‌های خطی می‌باشد، استفاده از این قیدها در مناطقی با جدایی بین لایه‌ای تاثیری ندارد و در صورت تغییر پارامترهای آن از جمله سختی، نرمافزار این تغییرات را اعمال نمی‌کند. در صورتی که شرایط حاکم بر مسئله به گونه‌ای باشد که سازه موردنظر تحت نیرو و یا فشار باشد و بهنوعی دچار تغییر شکل و یا تنش ناشی از این عوامل باشد، می‌توان از آنالیز مودال موجود در انسیس برای پیدا کردن فرکانس‌های طبیعی استفاده نمود. به همین دلایل با توجه به شرایط مرزی حاکم بر ورق ۸ لایه کامپوزیتی در مقاله حاضر جهت جلوگیری از نفوذپذیری لایه‌ها از المان‌های فنر استفاده می‌شود.

### ۵- نتایج شبیه‌سازی و بحث

جهت صحت گذاری نتایج به دست آمده، مقایسه‌ای بین نتایج به دست آمده و نتایج [۱۷] در جدول ۳ آورده شده است. النفائی در [۱۷] با درنظر گرفتن المان‌های شش وجهی آجری و با استفاده از یک جدا کننده ۰.۰۲ میلی‌متری به عنوان یک فاصله برای لایه میانی، مدلی را ارائه کرده است. شبیه‌سازی نرمافزاری در مقاله حاضر و در [۱۷] با استفاده از نرمافزار آباکوس بوده است، در هر دو روش از المان‌های شش وجهی آجری برای المان‌بندی ورق کامپوزیتی استفاده شده است. جدول ۳ نشان‌دهنده صحت مدل‌سازی حاضر می‌باشد.

جهت اطمینان از نتایج مدل‌سازی حاضر، با توجه به مراجع در دسترس [۳۳, ۲۶, ۱۷]، مقایسه دیگری روی ورق ۸ لایه کامپوزیتی سالم با جهت‌گیری ۰ درجه الیاف تمام لایه‌ها، با نتایج آزمایشگاهی [۳۳] صورت گرفته است. مقطع ورق کامپوزیتی به شکل مربعی به طول ضلع ۱۷۸ میلی‌متر و ضخامت کل ۸ لایه ۱.۵۸ میلی‌متر می‌باشد. خصوصیات مکانیکی هر لایه به صورت  $E_1 = 172.7 \text{ GPa}$ ,  $E_2 = E_3 = 7.2 \text{ GPa}$ ,  $G_{12} = G_{13} = 3.76 \text{ GPa}$ ,  $G_{23} = 2.71 \text{ GPa}$ ,  $\nu_{12} = \nu_{13} = 0.3$ ,  $\nu_{23} = 0.33$ ,  $\rho = 1566 \text{ kgm}^{-3}$  می‌باشد [۳۳, ۲۶, ۱۷]. جدول ۴ مقایسه تحقیق حاضر را با مراجع [۳۳, ۲۶, ۱۷]، برای ۶ مود فرکانسی نشان می‌دهد. مطالعه [۳۳] داده‌های تجربی و مطالعات [۲۶, ۱۷] تحلیل‌های عددی را شامل می‌شوند. با مشاهده داده‌های این جدول، صحت مدل‌سازی ارائه شده در تحقیق حاضر می‌تواند تأیید شود.

نتایج به دست آمده برای حالت وجود جدایی بین لایه‌ای و تاثیر این پدیده بر روی فرکانس‌های طبیعی ورق مورد مطالعه اصلی با مشخصات ارائه شده

جدول ۳ مقایسه فرکانس‌های طبیعی نتایج استخراجی به هر تر [۱۷]

Table 3 Comparison of the extracted natural frequencies in Hertz with [۱۷]

| نتایج [۱۷] | نتایج حاضر | شماره مود فرکانسی |
|------------|------------|-------------------|
| 70.09      | 70.12      | 1                 |
| 133.87     | 135.56     | 2                 |
| 168.73     | 170.03     | 3                 |
| 195.86     | 194.53     | 4                 |
| 218.30     | 218.33     | 5                 |
| 360.34     | 355.79     | 6                 |
| 373.41     | 375.67     | 7                 |
| 426.28     | 423.14     | 8                 |
| 460.30     | 461.92     | 9                 |
| 508.41     | 509.34     | 10                |

<sup>۴</sup> ANSYS

جدول ۱ خواص مکانیکی ماده ارتوتروپ برای لایه‌های بالا و پایین [۲۶]

Table 1 Mechanical properties of the orthotropic material for the upper and lower layers [۲۶]

| مقدار                    | خاصیت      |
|--------------------------|------------|
| 37.78 GPa                | $E_1$      |
| 10.9 GPa                 | $E_2$      |
| 10.9 GPa                 | $E_3$      |
| 0.3                      | $\nu_{12}$ |
| 0.3                      | $\nu_{13}$ |
| 0.11                     | $\nu_{23}$ |
| 4.91 GPa                 | $G_{12}$   |
| 4.91 GPa                 | $G_{13}$   |
| 4.91 GPa                 | $G_{23}$   |
| $\text{kgm}^{-3} 1813.9$ | $\rho$     |

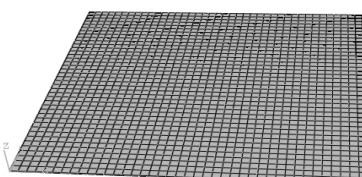
مدل می‌شود. جنس این لایه از رزین اپوکسی<sup>۱</sup> می‌باشد [۳۰-۳۲]. خواص مکانیکی (ثبت‌های الاستیک و چگالی ماده مذکور) مربوط به ماده ارتوتروپ لایه‌های بالا و پایین و همچین ماده ایزوتروپ رزین اپوکسی در نظر گرفته شده برای لایه چسبناک بترتیپ در جداول ۱ و ۲ آورده شده است [۲۶]. شایان ذکر است چسب اتصال لایه‌ها از جنس رزین اپوکسی در محل جدایی بین لایه ای وجود ندارد. شرایط مرزی برای ورق چند لایه کامپوزیتی به صورت چهار گوشه آزاد فرض می‌شود.

"شکل‌های ۵ و ۶" نمایی از لایه بالایی و لایه میانی ورق کامپوزیتی را نشان می‌دهند. مش‌بندی در هر راستا به ابعاد  $40 \times 40$  انجام شده است. برای مش‌بندی لایه میانی نیز از پارتبیشن‌بندی استفاده شده است. در بسیاری از مقالات از جمله در [۳۰-۳۲] اشاره شده است که برای جلوگیری از نفوذپذیری لایه‌ها بهم در مناطقی که جدایی بین لایه‌ای اتفاق افتاده است، از المان‌های تماسی ۵۲<sup>۲</sup> یا تماسی ۱۷۸<sup>۳</sup> موجود در نرمافزار

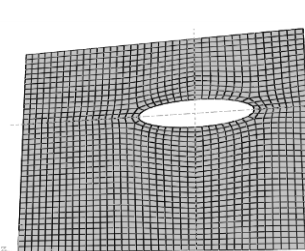
جدول ۲ خواص مکانیکی رزین اپوکسی [۲۶]

Table 2 Mechanical Properties of Epoxy resin [۲۶]

| مقدار                  | خاصیت  |
|------------------------|--------|
| 3.3 GPa                | $E$    |
| 0.37                   | $\nu$  |
| $\text{kgm}^{-3} 1200$ | $\rho$ |



شکل ۵ نمایی از مدل مش‌بندی شده لایه بالایی



شکل ۶ نمایی از مدل مش‌بندی شده لایه میانی

<sup>1</sup> Epoxy Resin

<sup>2</sup> Contact52

<sup>3</sup> Contact178

جدول 4 مقایسه نتایج برای 6 مود فرکانسی ورق کامپوزیتی با لایه‌چینی  $[0^\circ/0^\circ/0^\circ/0^\circ]$ 

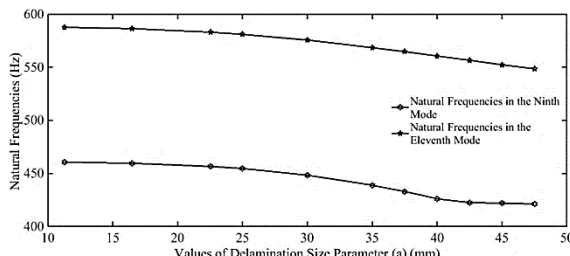
| مود فرکانسی | نتایج تحقیق حاضر | نتایج تحلیل عددی [26] | نتایج تحلیل عددی [33] | داده آزمایشگاهی [33] | نتایج تحلیل عددی [17] |
|-------------|------------------|-----------------------|-----------------------|----------------------|-----------------------|
| 1           | 81.59            | 82.26                 | 83.57                 | 81.50                | 81.48                 |
| 2           | 109.68           | 113.10                | 118.42                | 107.40               | 109.20                |
| 3           | 199.59           | 207.29                | 207.79                | 196.60               | 199.50                |
| 4           | 301.95           | 325.28                | 329.41                | 285.50               | 300.46                |
| 5           | 391.23           | 408.51                | 419.83                | 382.50               | 391.40                |
| 6           | 536.47           | 539.92                | 546.93                | 531.00               | 533.89                |

حالی که  $a=b=30$  است و جدایی بین لایه‌ای در مرکز لایه میانی رخ داده است، نشان داده شده است.

زمانی که ورق کامپوزیتی دارای آسیب جدایی بین لایه‌ای است و با توجه به جدول 5، فرکانس‌های طبیعی در مودهای مختلف و به ازای مقادیر متفاوتی از پارامتر اندازه جدایی بین لایه‌ای ( $a$ )، به نسبت‌های گوناگونی کاهش یافته است. برای این که این نسبت‌ها بهتر مشاهده شود، پارامتر  $K$  که به صورت رابطه (1) بیان می‌شود، تعریف می‌شود.

$$K = \frac{|\omega_{\text{delaminated}} - \omega_{\text{intact}}|}{\omega_{\text{intact}}} \times 100 \quad (1)$$

در رابطه (1)،  $\omega_{\text{delaminated}}$  فرکانس طبیعی ورق با جدایی بین لایه‌ای و  $\omega_{\text{intact}}$  فرکانس طبیعی ورق سالم می‌باشد. "شکل‌های 10 و 11"



شکل 7 تغییرات فرکانس‌های طبیعی در مودهای 9 و 11 بر حسب مقادیر مختلف پارامتر اندازه جدایی بین لایه‌ای

در جدول 1 و 2، در قالب سه پارامتر اندازه، خروج از مرکزی و موقعیت مرکز منطقه با جدایی بین لایه‌ای نسبت به مرکز لایه میانی در بخش‌های بعد از انه و بررسی می‌شوند.

5- تاثیر اندازه منطقه جدایی بین لایه‌ای روی فرکانس‌های طبیعی در جدول 5 فرکانس‌های طبیعی برای 15 مود اول برای حل تی که خروج از مرکزی  $a/b=1$  در نظر گرفته شده، به ازای مقادیر مختلف اندازه  $a$  و  $b$  و در مرکز لایه میانی نشان داده شده است. واحد مربوط به مقادیر  $a$  و  $b$  به میلی‌متر می‌باشد.

همان‌طوری که در جدول 5 مشاهده می‌شود، فرکانس‌های طبیعی با افزایش اندازه و به عبارتی با افزایش مساحت منطقه جدایی بین لایه‌ای، کاهش می‌یابند. معمولاً این کاهش در مودهای بالا محسوس‌تر است. البته لازم به تذکر است که نتایج بدست آمده در هر مود فرکانسی و در هر موقعیت به طور خاصی وابسته به توزیع جرم، سختی ماده دارد و به عبارت دیگر وابسته به تغییر شکل خمی است و امکان تغییر ناچیز فرکانس طبیعی در مودهای بالا نیز وجود دارد. ولی به طور کلی کاهش فرکانس‌های طبیعی در مودهای بالا بیشتر مشاهده می‌شود.

در "شکل 7" فرکانس‌های طبیعی برای مودهای 9 و 11 به ازای اندازه‌های مختلف نشان داده شده است. کاهش فرکانس طبیعی در این دو مود بهوضوح دیده می‌شود.

در "شکل‌های 8 و 9" شکل مودهای مربوط به مودهای 9 و 11 برای

جدول 5 فرکانس‌های طبیعی ورق کامپوزیتی با جدایی بین لایه‌ای در نقاط مختلف (هرتز)

| مود فرکانسی | $a=b=47.5$ | $a=b=45$ | $a=b=42.5$ | $a=b=40$ | $a=b=37.5$ | $a=b=35$ | $a=b=30$ | $a=b=25$ | $a=b=22.55$ | $a=b=16.5$ | $a=b=11.275$ |
|-------------|------------|----------|------------|----------|------------|----------|----------|----------|-------------|------------|--------------|
| 1           | 69.633     | 69.638   | 69.643     | 69.647   | 69.651     | 69.655   | 69.657   | 69.659   | 69.666      | 69.671     | 69.673       |
| 2           | 133.951    | 134.030  | 134.100    | 134.143  | 134.183    | 134.206  | 134.234  | 134.237  | 134.248     | 134.252    | 134.254      |
| 3           | 168.523    | 168.703  | 168.856    | 168.963  | 169.045    | 169.104  | 169.172  | 169.183  | 169.202     | 169.202    | 169.205      |
| 4           | 192.495    | 192.883  | 193.254    | 193.554  | 193.817    | 194.042  | 194.374  | 194.568  | 194.652     | 194.752    | 194.790      |
| 5           | 216.170    | 216.444  | 216.706    | 216.905  | 217.089    | 217.230  | 217.448  | 217.572  | 217.632     | 217.705    | 217.726      |
| 6           | 345.401    | 349.303  | 352.839    | 353.897  | 354.759    | 355.338  | 356.064  | 356.351  | 356.445     | 356.528    | 356.541      |
| 7           | 349.334    | 351.175  | 353.442    | 356.848  | 360.124    | 362.879  | 367.352  | 370.343  | 371.312     | 372.867    | 373.443      |
| 8           | 403.492    | 410.995  | 419.112    | 423.019  | 423.365    | 423.630  | 423.949  | 424.066  | 424.140     | 424.182    | 424.193      |
| 9           | 421.221    | 421.948  | 422.571    | 426.120  | 432.949    | 438.854  | 448.375  | 454.574  | 456.544     | 459.632    | 460.725      |
| 10          | 499.220    | 500.972  | 502.553    | 503.711  | 504.632    | 505.328  | 506.190  | 506.556  | 506.695     | 506.809    | 506.827      |
| 11          | 548.464    | 552.244  | 556.634    | 560.514  | 564.673    | 568.475  | 575.557  | 581.038  | 582.971     | 586.271    | 587.552      |
| 12          | 560.404    | 586.893  | 590.901    | 595.057  | 600.054    | 605.179  | 615.899  | 625.069  | 628.439     | 634.325    | 636.605      |
| 13          | 583.869    | 600.461  | 656.150    | 684.415  | 705.299    | 714.244  | 723.505  | 726.903  | 727.679     | 728.511    | 728.658      |
| 14          | 720.481    | 734.031  | 760.738    | 773.045  | 773.888    | 774.577  | 775.808  | 776.750  | 777.174     | 777.836    | 778.103      |
| 15          | 769.345    | 770.828  | 772.115    | 788.695  | 831.828    | 852.395  | 859.858  | 863.549  | 864.584     | 865.660    | 865.845      |

۵-۲- تاثیر خروج از مرکزی منطقه جدایی بین لایه‌ای روی فرکانس‌های طبیعی

در جدول ۶ فرکانس‌های طبیعی برای ۱۵ مود اول برای حالتی که پارامتر اندازه (a) به صورت ثابت یعنی مقدار ۳۷.۵ میلی‌متر در نظر گرفته شده، نشان داده شده است. مقدار خروج از مرکزی با تغییر پارامتر b (به میلی‌متر) تغییر داده شده است. همچنین موقعیت منطقه با جدایی بین لایه‌ای در مرکز لایه میانی می‌باشد.

همان طور که از جدول ۶ مشاهده می‌شود، با کاوش پارامتر  $b$  یعنی به عبارتی با افزایش خروج از مرکزی، فرکانس‌های طبیعی افزایش یافته است. این افزایش در مودهای بالا محسوس‌تر است. همچنین مشاهده می‌شود در مودهای بالا تغییر فرکانس‌های طبیعی به ازای افزایش خروج از مرکزی به آنرا کاهش داده است.

فرکانس‌های طبیعی برای مودهای 11 و 12 به ازای خروج از مرکزی با  $a$  ثابت و  $b$  متغیر در "شکل 12" نشان داده شده است.

### 3-5-3- تاثیر موقعیت منطقه جدا یابی بین لایه‌ای روی فرکانس‌های طبیعی

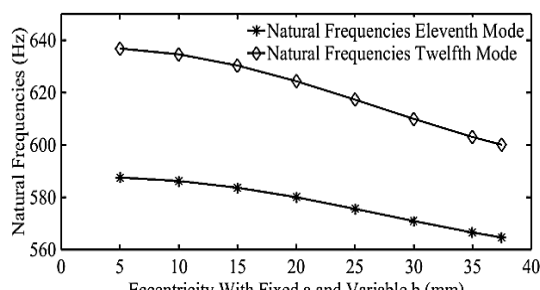
در جدول 7 تاثیر عامل موقعیت روی فرکانس‌های طبیعی را به ازای خروج از مرکزی  $a/b=1$  در موقعیت‌های مختلف نشان داده است.

| فاصله از مرکزی، $a/b$ | فرکانس طبیعی، $\omega_n$ (rad/s) |
|-----------------------|----------------------------------|
| -0.5                  | 30.0                             |
| 0.0                   | 30.0                             |
| 0.5                   | 30.0                             |
| 1.0                   | 30.0                             |
| 1.5                   | 30.0                             |
| 2.0                   | 30.0                             |
| 2.5                   | 30.0                             |
| 3.0                   | 30.0                             |
| 3.5                   | 30.0                             |
| 4.0                   | 30.0                             |
| 4.5                   | 30.0                             |
| 5.0                   | 30.0                             |
| 5.5                   | 30.0                             |
| 6.0                   | 30.0                             |
| 6.5                   | 30.0                             |
| 7.0                   | 30.0                             |
| 7.5                   | 30.0                             |
| 8.0                   | 30.0                             |
| 8.5                   | 30.0                             |
| 9.0                   | 30.0                             |
| 9.5                   | 30.0                             |
| 10.0                  | 30.0                             |
| 10.5                  | 30.0                             |
| 11.0                  | 30.0                             |
| 11.5                  | 30.0                             |
| 12.0                  | 30.0                             |
| 12.5                  | 30.0                             |
| 13.0                  | 30.0                             |
| 13.5                  | 30.0                             |
| 14.0                  | 30.0                             |
| 14.5                  | 30.0                             |
| 15.0                  | 30.0                             |
| 15.5                  | 30.0                             |
| 16.0                  | 30.0                             |
| 16.5                  | 30.0                             |
| 17.0                  | 30.0                             |
| 17.5                  | 30.0                             |
| 18.0                  | 30.0                             |
| 18.5                  | 30.0                             |
| 19.0                  | 30.0                             |
| 19.5                  | 30.0                             |
| 20.0                  | 30.0                             |
| 20.5                  | 30.0                             |
| 21.0                  | 30.0                             |
| 21.5                  | 30.0                             |
| 22.0                  | 30.0                             |
| 22.5                  | 30.0                             |
| 23.0                  | 30.0                             |
| 23.5                  | 30.0                             |
| 24.0                  | 30.0                             |
| 24.5                  | 30.0                             |
| 25.0                  | 30.0                             |
| 25.5                  | 30.0                             |
| 26.0                  | 30.0                             |
| 26.5                  | 30.0                             |
| 27.0                  | 30.0                             |
| 27.5                  | 30.0                             |
| 28.0                  | 30.0                             |
| 28.5                  | 30.0                             |
| 29.0                  | 30.0                             |
| 29.5                  | 30.0                             |
| 30.0                  | 30.0                             |

نتایج تحلیل نشان داده است که فاصله مرکز منطقه جدایی بین لایه‌ای از مرکز لایه میانی نیز روی فرکانس‌های طبیعی سازه تاثیرگذار است. افزایش این فاصله در بعضی از مودهای ارتعاشی باعث افزایش فرکانس طبیعی و در برخی از مودها باعث کاهش می‌شود که علت این پدیده هم می‌تواند توزیع متفاوت سختی و جرم در مودهای مختلف ارتعاشی باشد. در هر یک از موقعیت‌ها با افزایش شماره مود فرکانسی فرکانس طبیعی نیز افزایش یافته است.

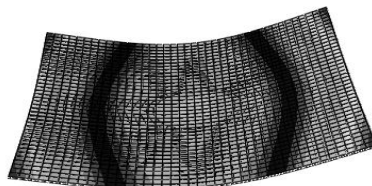
#### ۶- پیش‌بینی با شبکه عصبی پس انتشار خطای

مهترین بخش در نتیجه‌گیری بهینه از شبکه‌های عصبی پس از تعیین ساختار آن‌ها، استفاده از روش صحیح جهت آموزش آن‌ها می‌باشد. در واقع شبکه عصبی به ازای تعداد معینی از الگوهای ورودی و خروجی مسئله (پاسخ سیستم) آموزش داده شده و به ازای تعداد معینی از الگوهای ورودی و خروجی در عین آموزش دیدن مورد آرمنون واقع می‌گردد. اگر آموزش شبکه عصبی در این دو مرحله درست صورت گرفته باشد، این شبکه قادر خواهد بود به ازای الگوهای ناشناخته ورودی در محدوده الگوهای اولیه ورودی، پاسخ خروجی، سیستم را مشخص نماید. از بهترین و موثق‌ترین شیوه‌های آموزش

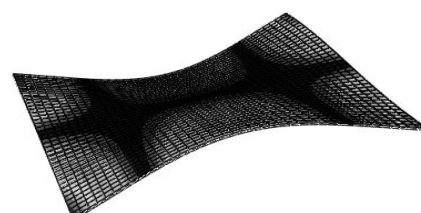


**Fig. 12** Natural frequencies of modes 11 and 12 versus eccentricity

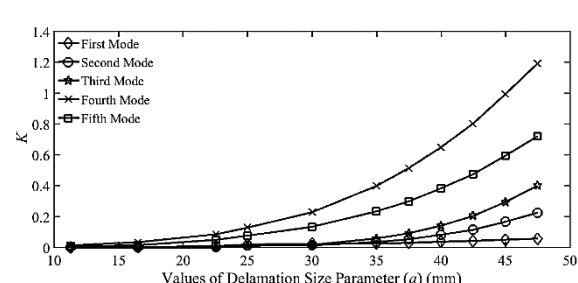
تغییرات پارامتر  $K$  را به عنوان تابعی از پارامتر اندازه جدایی بین لایه‌ای برای  
حالتهای آسیب در مرکز لایه میانی اتفاق افتاده است، را نشان می‌دهند.  
همان‌طوری که در "شکل‌های 10 و 11" مشاهده می‌شود، تغییرات پارامتر  $K$   
در مودهای بالاتر محسوس‌تر است. این تغییرات برای مود نهم بیشتر از سایر  
مودها به چشم می‌آید. برای مودهایی همچون مود دهم نیز همان‌طوری که  
قبل اشاره شد، استثنایهای وجود دارد که کاهش کم فرکانس‌های طبیعی  
می‌تواند ناشی از تفاوت توزیع جرم و سختی و تغییر شکل در این مود خاص  
باشد. ولی به طور کلی روند کاهش فرکانس‌های طبیعی در مودهای بالا  
بیشتر دیده می‌شود.



**Fig. 8** The mode shape of the ninth mode (natural frequency of 448.375 Hz)

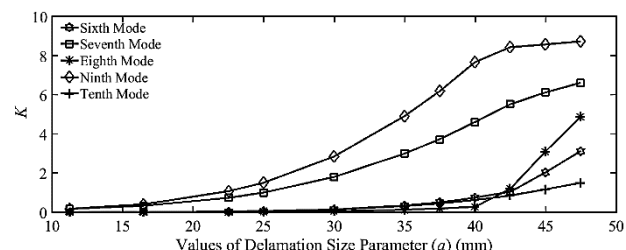


**Fig. 9** The mode shape of the eleventh mode (natural frequency of 575.557)



**Fig. 10** Variation of the natural frequencies of the first to fifth modes versus different values of delamination size parameter.

**شکل 10** تغییرات فرکانس‌های طبیعی در مودهای اول تا پنجم بر حسب مقادیر مختلف پارامتر اندازه جدابی بین لایه‌ای



**Fig. 11** Variation of the natural frequencies of the sixth to tenth modes versus different values of delamination size parameter

**شکل 11** تغییرات فرکانس‌های طبیعی در مودهای ششم تا دهم بر حسب مقادیر مختلف پارامتر اندازه جداول، بین‌لایه‌ای

جدول 6 فرکانس‌های طبیعی ورق کامپوزیتی به‌ازای مقادیر مختلف پارامتر  $b$  (هرتز)Tabel 6 Natural frequencies of the composite plate for different values of parameter  $b$  (Hz)

| $b=37.5$ | $b=35$  | $b=30$  | $b=25$  | $b=20$  | $b=15$  | $b=10$  | $b=5$   | مود فرکانسی |
|----------|---------|---------|---------|---------|---------|---------|---------|-------------|
| 69.651   | 69.653  | 69.660  | 69.664  | 69.673  | 69.673  | 69.675  | 69.675  | 1           |
| 134.183  | 134.202 | 134.234 | 134.250 | 134.264 | 134.267 | 134.269 | 134.271 | 2           |
| 169.045  | 169.064 | 169.102 | 169.135 | 169.169 | 169.187 | 169.195 | 169.198 | 3           |
| 193.817  | 193.938 | 194.167 | 194.369 | 194.550 | 194.684 | 194.771 | 194.817 | 4           |
| 217.089  | 217.172 | 217.334 | 217.466 | 217.574 | 217.656 | 217.707 | 217.773 | 5           |
| 354.759  | 355.034 | 355.527 | 355.900 | 356.204 | 356.368 | 356.458 | 356.494 | 6           |
| 360.124  | 361.455 | 364.366 | 367.144 | 369.598 | 371.506 | 372.819 | 373.450 | 7           |
| 423.365  | 423.475 | 423.680 | 423.844 | 424.001 | 424.094 | 424.173 | 424.207 | 8           |
| 432.949  | 436.603 | 443.538 | 449.430 | 454.102 | 457.522 | 459.738 | 460.814 | 9           |
| 504.632  | 505.114 | 505.833 | 506.280 | 506.559 | 506.717 | 506.797 | 506.830 | 10          |
| 564.673  | 566.542 | 570.953 | 575.587 | 580.041 | 583.693 | 586.251 | 587.573 | 11          |
| 600.054  | 603.043 | 609.972 | 617.322 | 624.384 | 630.659 | 634.638 | 636.861 | 12          |
| 705.299  | 710.568 | 719.074 | 724.428 | 727.166 | 728.339 | 728.758 | 728.763 | 13          |
| 773.888  | 774.177 | 774.870 | 775.612 | 776.512 | 777.306 | 777.919 | 778.226 | 14          |
| 831.828  | 842.038 | 855.820 | 859.783 | 862.601 | 864.331 | 865.372 | 865.830 | 15          |

می‌کند تا تنظیم وزن‌ها را برای رسیدن به خطای مطلوب انجام دهد [23].

جدول 7 تأثیر عامل موقعیت جدایی بین لایه‌ای بر فرکانس‌های طبیعی ورق کامپوزیتی

Table 7 Effect of the delamination location factor on the natural frequencies of the composite plate

| $y=0$<br>$x=40$ | $y=0$<br>$x=30$ | $y=0$<br>$x=20$ | $y=0$<br>$x=0$ | $y=0$<br>$x=0$ | مود فرکانسی |
|-----------------|-----------------|-----------------|----------------|----------------|-------------|
| 69.656          | 69.660          | 69.660          | 69.661         | 69.657         | 1           |
| 134.226         | 134.231         | 134.231         | 134.234        | 134.234        | 2           |
| 168.593         | 168.789         | 168.982         | 169.121        | 169.172        | 3           |
| 194.513         | 194.453         | 194.410         | 194.383        | 194.374        | 4           |
| 217.572         | 217.533         | 217.487         | 217.460        | 217.448        | 5           |
| 353.532         | 354.300         | 355.154         | 355.818        | 356.064        | 6           |
| 367.268         | 367.297         | 367.281         | 367.323        | 367.352        | 7           |
| 421.770         | 422.686         | 423.366         | 423.800        | 423.949        | 8           |
| 459.251         | 456.470         | 452.726         | 499.576        | 448.375        | 9           |
| 505.346         | 505.582         | 505.894         | 506.098        | 506.190        | 10          |
| 583.151         | 580.477         | 577.952         | 576.180        | 575.557        | 11          |
| 633.468         | 628.752         | 622.320         | 617.564        | 615.899        | 12          |
| 723.425         | 723.507         | 723.489         | 723.486        | 723.505        | 13          |
| 773.521         | 774.093         | 774.900         | 775.561        | 775.808        | 14          |
| 850.349         | 850.549         | 855.391         | 858.569        | 859.858        | 15          |

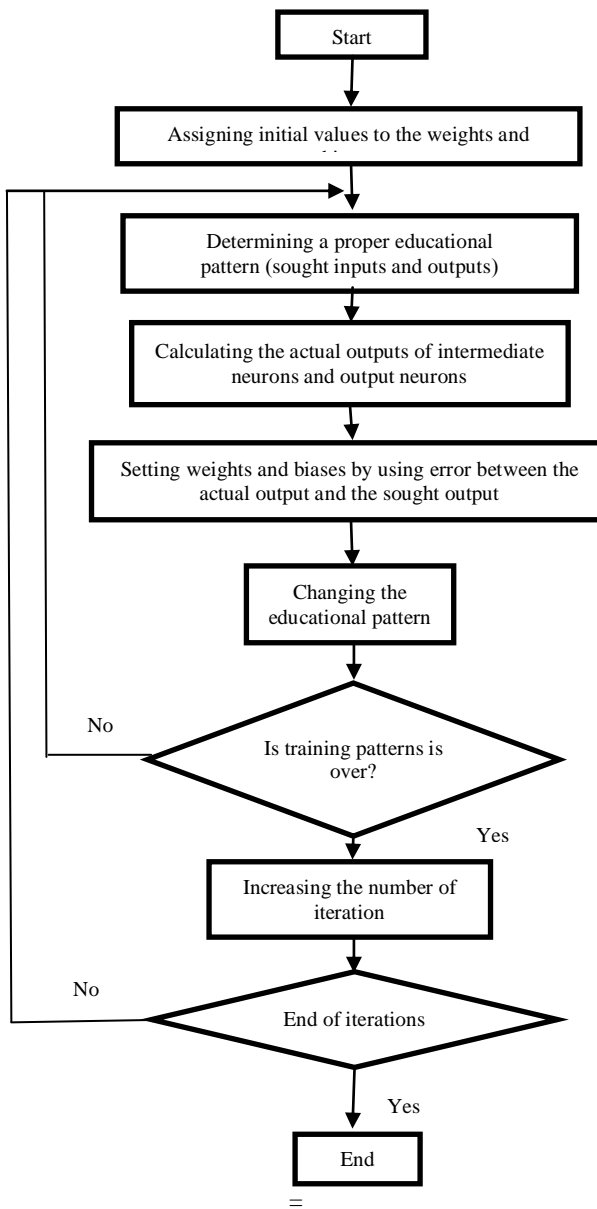


Fig. 13 Algorithm of the error back-propagation neural network.

شكل 13 الگوریتم شبکه عصبی پس انتشار خطا

شبکه‌های عصبی چندلایه، الگوریتم پس انتشار خطا می‌باشد [23]. چون انتیزه اصلی استفاده از الگوریتم پس انتشار خطا دستیابی به تعادل بین دادن پاسخ صحیح به الگوهای آموزش داده شده به شبکه (یادگیری) و تولید پاسخ مناسب به الگوهای جدید (تعیین) است، ادامه آموزش شبکه عصبی زمانی که مقدار مربوطات خطا واقعاً حداقل شده باشد، الزاماً مفید نمی‌باشد [23]. معمولاً از دو مجموعه داده مجزا در زمان آموزش شبکه استفاده می‌شود، یک مجموعه برای آموزش الگوها و یک مجموعه برای آموزش-آزمون الگوها.

تغییر وزن‌ها در شبکه براساس داده آموزش صورت می‌گیرد و در بازه‌هایی در طول آموزش، خطای شبکه برای داده‌های آموزش-آزمون محاسبه می‌شود. بر این اساس تا زمانی که مقدار خطای داده‌های آموزش-آزمون در حین آموزش کاهش می‌یابد، آموزش شبکه ادامه دارد. زمانی که خطای شبکه شروع به افزایش می‌کند، شبکه مشخصاً شروع به حفظ کردن الگوهای آموزش می‌نماید و قابلیت تعمیم‌دهی خود را از دست می‌دهد. در این نقطه، آموزش پایان می‌پذیرد [23].

در "شکل 13" فلوچارت الگوریتم پس انتشار خطا آورده شده است. شبکه ابتدا مقادیر اولیه‌ای را به وزن‌ها و بایاس‌ها اختصاص می‌دهد و خروجی‌های هر نرون در هر لایه پیش‌بینی شده و مقادیر واقعی با خطای مطلوب مقایسه می‌شود و در صورت مغایرت، شبکه اصطلاحاً پس انتشار

ممکن است در مسائل پیچیده جوابگو نباشد. از طرفی تعداد زیاد لایه‌ها نیز ممکن است شبکه را دچار فرانطباقی<sup>۱</sup> نماید. این مطلب در مورد تعداد داده‌های ورودی شبکه نیز صادق می‌باشد [23]. در مقاله حاضر نیز با فرکانس‌های طبیعی در ۱۰ مود اول نتایج پیش‌بینی شده شبکه عصبی دقیق خوبی دارد.

در این پژوهش برای آموزش شبکه و نیز مقایسه عملکرد ساختارهای مختلف شبکه عصبی و نیز روش‌های مختلف الگوریتم پس انتشار خطأ از شخص کارایی میانگین مربعات خطأ<sup>۲</sup> مطابق رابطه (2) استفاده می‌شود.

$$mse = \frac{1}{N} \sum_{i=1}^N (e_i)^2 = \frac{1}{N} \sum_{i=1}^N (t_i - a_i)^2 \quad (2)$$

که در آن  $t_i$  مقادیر هدف (خروجی مطلوب شبکه) و  $a_i$  خروجی‌های واقعی شبکه عصبی می‌باشند.

تعداد کل داده‌های ورودی شبکه عصبی برابر با 293 داده درنظر گرفته شده است که از این تعداد 260 داده جهت آموزش شبکه عصبی و 33 داده نیز برای آزمون (تست) شبکه به کار رفته است. با توجه به شرایط مزی حاکم بر مسئله و بدلیل تقارن، یک چهارم لایه میانی برای پیش‌بینی با استفاده از شبکه عصبی درنظر گرفته شده است.

## 6-آموزش شبکه

برای آموزش شبکه عصبی از کدنویسی با نرم‌افزار متلب<sup>۳</sup> استفاده شده است. در اینجا از دو روش آموزش لوینبرگ-مارکوارت<sup>۴</sup> و پس انتشار خطأ انعطاف پذیر<sup>۵</sup> برای آموزش شبکه عصبی و مقایسه پاسخ‌ها پاسخ‌گیری از نتایج غیرخطی الگوریتم لوینبرگ-مارکوارت روشی است برای یافتن کمینه یکتابع غیرخطی چند متغیره که به عنوان یک روش استاندارد برای حل مسئله کمینه مربعات برای تابع غیرخطی درآمده است. روش لوینبرگ-مارکوارت معمولاً از سرعت همگرایی بسیار بالاتری نسبت به سایر روش‌ها برخوردار بوده و برای شبکه‌های کوچک بسیار کاراست. اما با افزایش اندازه شبکه‌ها و تعداد وزن‌ها کارایی آن کاهش می‌یابد [34]. روش پس انتشار خطأ انعطاف‌پذیر نیز در مسائل تشخیص الگوها از سریع‌ترین روش‌ها می‌باشد. حافظه موردنیاز برای این روش نیز کم خواهد بود. اما در مسائل تقریب تابع از قدرت روش قبل برخوردار نیست [34]. پارامترهای آموزش شبکه (تنظیمات کلی شبکه) با هر دو روش ثابت و مطابق جدول ۸ آورده شده است.

همان‌طوری که در جدول ۸ مشاهده می‌شود، برای آموزش شبکه عصبی پس انتشار خطأ مقدار خطای ۰.۰۱ و بیشترین تکرار (دور) ۵۰۰ درنظر گرفته شده است. هر کدام از این حالت‌ها که زودتر اتفاق بیفت، فرایند آموزش شبکه عصبی متوقف می‌شود.

جدول 8 تنظیمات شبکه عصبی

Table 8 The neural network settings

| ساختار         |                         |
|----------------|-------------------------|
| سیگموید دوقطبی | تابع محرك لایه‌های مخفی |
| خطی            | تابع محرك لایه خروجی    |
| 500            | بیشترین تکرار           |
| 180            | بیشترین زمان            |
| 0.01           | خطای مورد نظر           |

<sup>1</sup> Over Fitting

<sup>2</sup> Mean Squared Error (mse)

<sup>3</sup> MATLAB R2013a

<sup>4</sup> Levenberg-Marquardt (trainlm)

<sup>5</sup> Resilient Backpropagation (trainrp)

## 6-1-ساختار شبکه

برای حالتی که جدایی بین لایه‌ای اتفاق افتاده است، 293 حالت مختلف که شامل تغییرات پارامترهای اندازه، خروج از مرکزی و موقعیت می‌باشد، بررسی شده است. از شبکه عصبی پس انتشار خطأ نیز برای پیش‌بینی استفاده می‌شود. نحوه استفاده به این صورت است که بعد از این که فرایند شبیه‌سازی با نرم‌افزار آبکوس به اتمام رسید، فرکانس‌های طبیعی در ۱۰ مود اول به عنوان ورودی‌های شبکه عصبی و پارامترهای مذکور به عنوان خروجی در نظر گرفته می‌شوند. علت انتخاب ده مود فرکانسی به عنوان ورودی‌های شبکه عصبی در ادامه تشریح می‌شود. پس از این که شبکه آموزش یافته، می‌توان از الگوریتم پس انتشار خطأ برای پیش‌بینی آسیب در ورق کامپوزیتی استفاده نمود. تعداد نرون‌های لایه ورودی و تعداد نرون‌های لایه خروجی، به تعداد ورودی‌ها و خروجی‌های سیستم بوده و تعداد آن‌ها کاملاً مشخص می‌باشد.

نوع شبکه مورد استفاده جهت ارزیابی آسیب جدایی بین لایه‌ای، از نوع شبکه‌های عصبی سه لایه می‌باشد. معمولاً برای پیش‌بینی با شبکه عصبی پس انتشار خطأ از یک لایه مخفی استفاده می‌شود و چنانچه نتایج تخمین زده شده به نتایج حقیقی نزدیک نبود، از دو لایه مخفی استفاده می‌شود. تعداد نرون‌های موجود در لایه‌های مخفی، به طور تجربی و از طریق سعی و خطای حاصل گردیده است [35,34]. در لایه مخفی اول تعداد 20 و در لایه مخفی دوم تعداد 13 نرون وجود دارد. این مقادیر از طریق سعی و خطای بدست آمده است. تابع فعال‌سازی هر دو لایه مخفی از نوع سیگموید دوقطبی می‌باشد. معمولاً برای لایه‌های میانی از این نوع تابع فعال‌سازی استفاده می‌شود، این انتخاب به این دلیل است که با توجه به برد این تابع فعال‌سازی، مقایر خروجی نرون‌های لایه‌های مخفی بین ۱ و -۱- قرار می‌گیرد و شبکه بهتر می‌تواند عملیات تنظیم وزن را انجام دهد [23]. در لایه خروجی نیز چهار نرون وجود دارد که بیانگر پارامترهای اندازه، خروج از مرکزی و موقعیت ناحیه با جدایی بین لایه‌ای می‌باشد. با توجه به این که لایه خروجی هر مقداری (خارج از بازه -۱ و ۱) را می‌تواند اختیار کند، از تابع فعال‌سازی خروجی شبکه به ازای آن‌ها، ساختار بهینه تعیین می‌گردد. تعداد کم لایه‌ها عصبی پس انتشار خطأ با دو لایه مخفی را نشان می‌دهد.

مهمنترین مسئله در بخش انتخاب ساختار شبکه چند لایه، انتخاب تعداد لایه‌های مخفی شبکه و نیز تعداد نرون‌های موجود در این لایه‌ها می‌باشد. برای این منظور هیچ فرمول مدون و از پیش تعیین شدهای وجود نداشته و با توجه به سعی و خطای و آزمودن ساختارهای مختلف و مشاهده پارامترهای خروجی شبکه به ازای آن‌ها، ساختار بهینه تعیین می‌گردد. تعداد کم لایه‌ها

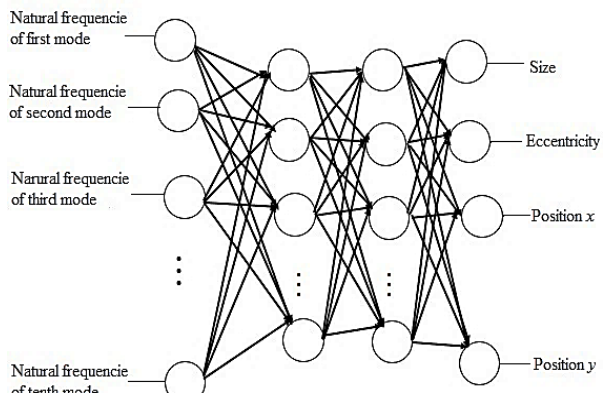


Fig. 14 Model of the error back-propagation neural network

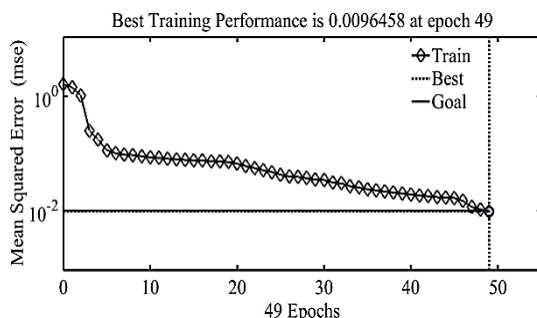
شکل 14 مدل شبکه عصبی پس انتشار خطأ

خروجی‌های شبکه عصبی مصنوعی سه لایه آموزش دیده با الگوریتم پس انتشار خطا با روش آموزش لونبرگ- مارکوارت انجام شده است. "شکل 16" این مقایسه را نشان می‌دهد. محور عمودی نمودار مقادیر پارامتر اندازه جدایی بین لایه‌ای (a) را برای حالتی نشان می‌دهد که آسیب در مرکز لایه میانی اتفاق افتاده است.

همان‌طوری که در "شکل 16" نشان داده شده است، نتایج پیش‌بینی شده شبکه عصبی با نتایج واقعی تطابق بسیار خوبی دارد. به‌طور کلی می‌توان گفت که شبکه عصبی پس انتشار خطا ابزار خوبی برای پیش‌بینی و مدل‌سازی سیستم‌های مختلف می‌باشد.

نتایج پیش‌بینی شده شبکه عصبی برای 33 نمونه تست که شامل حالت‌های مختلفی از آسیب جدایی بین‌لایه‌ای است، به همراه مقادیر شبیه‌سازی شده با نرم‌افزار آباکوس در جدول 12 آورده شده است. برای زمانی که جدایی بین‌لایه‌ای اتفاق افتاده است، تغییرات پارامترهای اندازه (a)، خروج از مرکزی ( $a/b$ ) و موقعیت ( $x$  و  $y$ ) می‌باشد، بررسی شده است. از شبکه عصبی پس انتشار خطا نیز برای پیش‌بینی استفاده شده است. نحوه استفاده به این صورت است که بعد از این که فرایند شبیه‌سازی با نرم‌افزار آباکوس به اتمام رسید، فرکانس‌های طبیعی در 10 مود اول به عنوان ورودی‌های شبکه عصبی و پارامترهای مذکور به عنوان خروجی در نظر گرفته می‌شوند.

پس از این که شبکه برای 260 نمونه آموزش پیدا کرد، برای 33 حالت مختلف هم شبکه تست شده است تا دقت پیش‌بینی شبکه مورد ارزیابی قرار گیرد. همان‌طوری که در جدول 12 نشان داده شده است، مقادیر پیش‌بینی



**Fig. 15** Performance characteristic of the neural network with Levenberg – Marquardt training at optimal state

**شکل 15** مشخصه عملکرد شبکه عصبی با روش آموزش لونبرگ – مارکوارت در حالت بهینه

جدول 9 مقایسه‌ای بین عملکرد شبکه با ورودی‌های مختلف را نشان می‌دهد. همان‌طوری که در جدول 9 مشاهده می‌شود به ازای ورودی‌های مختلف عملکرد شبکه متفاوت است. با آزمایش ورودی‌های مختلف، 10 مود اول فرکانسی نتایج بهتری را به همراه دارد که نتایج آن در ادامه تشریح شده است.

### 6-3- نتایج آموزش شبکه

در این بخش در قالب بررسی چند فاکتور مهم، نتایج حاصل از آموزش شبکه عصبی سه‌لایه با الگوریتم پس انتشار خطا آورده شده است.

#### 6-3-1- بررسی اثر ساختار شبکه

در جداول 10 و 11 نتایج حاصل از انتخاب ساختارهای مختلف برای معماری شبکه عصبی به کار رفته، آورده شده است. جدول 10 مربوط به نتایج ساختارهای مختلف شبکه با آموزش به روش لونبرگ – مارکوارت و جدول 11 مربوط به نتایج ساختارهای مختلف شبکه به روش پس انتشار خطا ای انعطاف‌پذیر می‌باشد. این نتایج بهترین نتایج بدست آمده برای آموزش شبکه با آن ساختار طی تکرارهای فراوان می‌باشد.

همان‌طوری که از جدول 10 مشاهده می‌شود، ساختار (10-20-13-4) بهترین عملکرد را در بین ساختارها دارد.

از مقایسه دو جدول 10 و 11 می‌توان نتیجه گرفت که آموزش شبکه عصبی به روش لونبرگ – مارکوارت نتایج مطلوب‌تری را چه از لحظه کاهش زمان و چه از لحظه بهبود شاخص عملکرد، در برخواهد داشت.

#### 6-3-2- بررسی مشخصه عملکرد حالت بهینه

"شکل 15" مشخصه عملکرد شبکه با ساختار (10-20-13-4) برای رسیدن به حد مطلوب خطای تعییف شده برای آن را نشان می‌دهد. این مشخصه مربوط به حالت بهینه‌ای است که در جدول 8 مشخصات آن آورده شده است. همان‌طور که مشاهده می‌شود شبکه پس از 49 دور آموزش به مقدار خطای مطلوب 0.01 رسیده است.

#### 6-3-3- بررسی مقایسه‌ای خروجی شبکه

در این بخش برای تعداد 15 داده، مقایسه‌ای بین خروجی‌های واقعی مساله و

**جدول 9** مقایسه عملکرد شبکه با ورودی‌های مختلف

| Table 9 Comparison of the network performance with different inputs |              |        |        |        |
|---|--------------|--------|--------|--------|
| ساختار  | تعداد ورودی  | سه     | پنج    | پانزده |
| 4-13-20-10  | mse          | 0.1951 | 0.0511 | 0.0238 |
| 4-14-22-10  | mse          | 0.0075 | 140    | 88     |
| 4-20-25-10  | mse          | -      | 71     | 61     |
| 4-17-23-10  | mse          | -      | 53     | 49     |
| 4-15-30-10  | mse          | -      | 7      | 10     |
| 4-12-25-10  | mse          | -      | 11     | 6      |
|   | تعداد تکرار  | -      | 71     | 56     |
|   | زمان (ثانیه) | -      | 12     | 9      |

**جدول 10** نتایج ساختارهای مختلف شبکه با آموزش به روش لونبرگ – مارکوارت

**Table 10** The results of various network structures via training by Levenberg – Marquardt method

| ساختار     | تعداد ورودی | سه     | پنج    | پانزده |
|------------|-------------|--------|--------|--------|
| 4-13-20-10 | 0.0064      | 0.0169 | 0.0146 | 0.0153 |
| 4-14-22-10 | 0.0088      | 0.0228 | 0.0206 | 0.0221 |
| 4-20-25-10 | 0.0169      | 0.0146 | 0.0153 | 0.0075 |
| 4-17-23-10 | 0.0146      | 0.0153 | 0.0075 | -      |
| 4-15-30-10 | 0.0153      | -      | -      | -      |
| 4-12-25-10 | 0.0075      | -      | -      | -      |

**جدول 11** نتایج ساختارهای مختلف شبکه با آموزش به روش پس انتشار خطا ای انعطاف‌پذیر

**Table 11** The results of various network structures via training by flexible error propagation method

| ساختار     | تعداد ورودی | سه     | پنج    | پانزده |
|------------|-------------|--------|--------|--------|
| 4-13-20-10 | 0.0094      | 0.0228 | 0.0206 | 0.0221 |
| 4-14-22-10 | 0.0198      | 0.0228 | 0.0206 | 0.0175 |
| 4-20-25-10 | 0.0169      | 0.0146 | 0.0153 | 0.0175 |
| 4-17-23-10 | 0.0228      | 0.0206 | 0.0221 | 0.0175 |
| 4-15-30-10 | 0.0228      | 0.0206 | 0.0221 | -      |
| 4-12-25-10 | 0.0075      | -      | -      | -      |

جدول 12 مقایسه نتایج پیش‌بینی شده شبکه عصبی با مقدار حقيقی

Table 12 comparison of the results predicted by the neural network with real values

| نتایج پیش‌بینی شده با شبکه عصبی (متر) |          |          |          | نتایج به دست آمده از نرم‌افزار آباکوس (متر) |      |          |        | شماره |
|---------------------------------------|----------|----------|----------|---|------|----------|--------|-------|
| y                                     | x        | a/b      | a        | y   | x    | a/b      | a      | تست   |
| -0.00082                              | -0.00046 | 1.001685 | 0.025266 | 0   | 0    | 1        | 0.0252 | 1     |
| 0.00095                               | 0.002447 | 0.976543 | 0.035214 | 0   | 0    | 1        | 0.036  | 2     |
| -0.001532                             | 0.001211 | 0.982524 | 0.040763 | 0   | 0    | 1        | 0.0405 | 3     |
| -0.00729                              | 0.028567 | 1.048041 | 0.045439 | 0   | 0.03 | 1        | 0.0454 | 4     |
| 0.05051                               | 0.05448  | 1.69132  | 0.034507 | 0.05  | 0.05 | 1.775    | 0.0355 | 5     |
| 0.011857                              | 0.00915  | 2.115381 | 0.03695  | 0.01  | 0.01 | 2.083333 | 0.0375 | 6     |
| -0.00234                              | 0.046689 | 1.387067 | 0.037001 | 0   | 0.05 | 1.388889 | 0.0375 | 7     |
| 0.03256                               | 0.012207 | 1.98730  | 0.043863 | 0.03  | 0.01 | 1.956522 | 0.045  | 8     |
| 0.030073                              | 0.031324 | 1.343246 | 0.043873 | 0.03  | 0.03 | 1.323529 | 0.045  | 9     |
| 0.002274                              | 0.00645  | 1.88863  | 0.045835 | 0   | 0    | 1.9      | 0.0475 | 10    |
| 0.008736                              | 0.050114 | 0.921283 | 0.023524 | 0.01  | 0.05 | 1        | 0.025  | 11    |
| -0.00017                              | 0.069587 | 0.961084 | 0.025619 | 0   | 0.07 | 1        | 0.026  | 12    |
| 0.048097                              | 0.029894 | 0.962125 | 0.024899 | 0.05  | 0.03 | 1        | 0.027  | 13    |
| 0.06887                               | 0.04969  | 0.92176  | 0.028879 | 0.07  | 0.05 | 1        | 0.0295 | 14    |
| 0.016991                              | 0.011365 | 1.144904 | 0.0298   | 0.01  | 0.01 | 1        | 0.0296 | 15    |
| 0.028033                              | 0.030887 | 0.972384 | 0.029532 | 0.03  | 0.03 | 1        | 0.03   | 16    |
| 0.00988                               | 0.032824 | 0.964365 | 0.029504 | 0.01  | 0.03 | 1        | 0.0302 | 17    |
| 0.002041                              | 0.03844  | 0.937243 | 0.030452 | 0   | 0.04 | 1        | 0.0302 | 18    |
| 0.031912                              | 0.010263 | 1.069595 | 0.033637 | 0.03  | 0.01 | 1        | 0.032  | 19    |
| 0.002412                              | 0.070757 | 1.077244 | 0.033538 | 0   | 0.07 | 1        | 0.0335 | 20    |
| 0.000552                              | 0.048522 | 0.924577 | 0.034556 | 0   | 0.05 | 1        | 0.0345 | 21    |
| 0.029973                              | 0.052328 | 1.003725 | 0.036044 | 0.03  | 0.05 | 1        | 0.0345 | 22    |
| 0.051645                              | 0.008607 | 0.94419  | 0.034836 | 0.05  | 0.01 | 1        | 0.0355 | 23    |
| 0.049564                              | 0.048356 | 0.983706 | 0.03548  | 0.05  | 0.05 | 1        | 0.0355 | 24    |
| 0.000931                              | 0.030997 | 0.90513  | 0.037904 | 0   | 0.03 | 1        | 0.038  | 25    |
| 0.049949                              | 0.030405 | 1.123352 | 0.039802 | 0.05  | 0.03 | 1        | 0.0385 | 26    |
| 0.69456                               | 0.029877 | 1.006958 | 0.038308 | 0.07  | 0.03 | 1        | 0.0395 | 27    |
| 0.010289                              | 0.031952 | 0.008465 | 0.039766 | 0.01  | 0.03 | 1        | 0.0398 | 28    |
| -0.00035                              | 0.04943  | 1.028327 | 0.040458 | 0.01  | 0.05 | 1        | 0.0403 | 29    |
| 0.00812                               | 0.011886 | 0.987579 | 0.040527 | 0.01  | 0.01 | 1        | 0.0413 | 30    |
| 0.017065                              | 0.051081 | 0.903645 | 0.040914 | 0.01  | 0.05 | 1        | 0.0402 | 31    |
| 0.029947                              | 0.011051 | 1.117795 | 0.046052 | 0.03  | 0.01 | 1        | 0.0447 | 32    |
| 0.030052                              | 0.029976 | 0.900129 | 0.048484 | 0.03  | 0.03 | 1        | 0.0485 | 33    |

## 7- جمع‌بندی و نتیجه‌گیری

در این مقاله از الگوریتم پس انتشار خطایا قانون دلتای تعمیم یافته برای پیش‌بینی آسیب جدایی بین لایه‌ای در ورق کامپوزیتی 8 لایه استفاده شد. این روش براساس کاهش گردایان به منظور به حداقل رساندن کل مربعات خطای خروجی محاسبه شده توسط شبکه می‌باشد. نحوه پیش‌بینی آسیب به این صورت است که ابتدا تحلیل ارتعاشات آزاد ورق کامپوزیتی مذکور براساس روش عددی اجزای محدود انجام گرفت و فرکانس‌های طبیعی در مودهای خاص به ازای مدل‌های مختلفی از آسیب جدایی بین لایه‌ای (اندازه، خروج از مرکزی و موقعیت) به دست آمد. سپس این فرکانس‌های طبیعی به عنوان ورودی و پارامترهای اندازه، هندسه و موقعیت نیز به عنوان خروجی شبکه عصبی درنظر گرفته شد. در واقع فرایند عیب‌یابی از نوعی روش معکوس برای شناسایی آسیب استفاده می‌کند. بعد از تولید داده برای سازه موردنظر، شبکه به گونه‌ای آموزش می‌بیند که با دقت قابل قبولی بتواند محل و اندازه و هندسه آسیب را تشخیص دهد. همچنین شبکه را نباید بیش از حد آموزش داد، چون در این صورت شبکه عمومیت خود را از دست می‌دهد و تبدیل به یک حافظه می‌شود و برای داده‌های جدید کارایی اش را از دست می‌دهد.

نتایج تحلیل عددی برای ورق کامپوزیتی 8 لایه با جدایی بین لایه‌ای نشان می‌دهد که با افزایش اندازه منطقه جدایی بین لایه‌ای و به نوعی با افزایش مساحت این ناحیه در یک موقعیت خاص، فرکانس‌های طبیعی کاهش می‌یابد. این کاهش در مودهای بالا بیشتر دیده می‌شود. البته با توجه به توزیع جرم و سختی و تغییر شکل منطقه جدایی بین لایه‌ای در موقعیت و

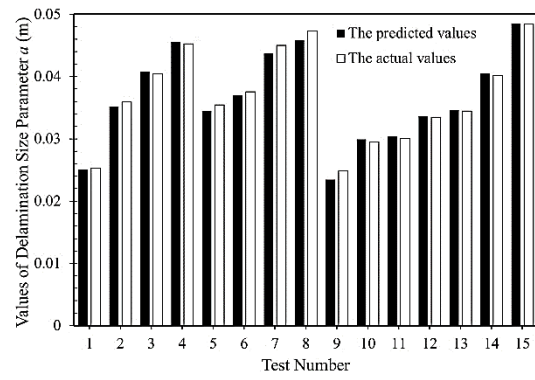


Fig. 16 Diagrammed comparison of the network performance using Levenberg – Marquardt training method

شکل 16 مقایسه نموداری عملکرد شبکه با روش آموزش لونبرگ – مارکوارت

شده الگوریتم پس انتشار خطایا بسیار نزدیک به مقادیر حقیقی به دست آمد از نرم‌افزار آباکوس می‌باشدند.

با توجه به نتایج به دست آمده از مقادیر پیش‌بینی شده به روش آموزش لونبرگ – مارکوارت که در "شکل 16" آورده شده است و مقادیر پیش‌بینی شده الگوریتم پس انتشار خطایا که نتایج آن در جدول 12 نشان داده شده است، این نتایج بسیار نزدیک به مقادیر حقیقی به دست آمده از نرم‌افزار آباکوس می‌باشند. که این نتایج دقت پیش‌بینی شبکه عصبی را در پارامترهای مذکور نشان می‌دهد.

Mechanics inc, pp. 1322–1330, 1995.

- [16] R. M. Gadelrab, The effect of delamination on the natural frequencies of a laminated composite beam, *Journal of Sound and Vibration*, Vol. 24, No. 3, pp. 283-292, 1996.
- [17] K. Alnafai, Finite element modeling of composite plates with internal delamination, *Composite Structures*, Vol. 90, No. 1, pp. 21-27, 2009.
- [18] C. Harrison, R. Butler, Locating delaminations in composite beams using gradient techniques and a genetic algorithm, *Journal American Institute of Aeronautics and Astronautics*, Vol. 39, No. 7, pp. 1383-1389, 2001.
- [19] A. Nag, D. R. Mahapatra, S. Gopalakrishnan, Identification of delamination in composite beams using spectral estimation and a genetic algorithm, *Smart Materials and Structures*, Vol. 11, No. 6, pp. 899-908, 2002.
- [20] A. C. Okafor, K. Chandrashekara, Y. P. Jiang, Delamination prediction in composite beams with built-in piezoelectric devices using modal analysis and neural network, *Smart Materials and Structures*, Vol. 5, No. 3, pp. 338-347, 1996.
- [21] A. S. Islam, K. C. Craig, Damage detection in composite structures using piezoelectric materials (and neural net), *Smart Materials and Structures*, Vol. 3, No. 3, pp. 318-328, 1994.
- [22] S. J. Zheng, Z. Q. Li, H. T. Wang, A genetic fuzzy radial basis function neural network for structural health monitoring of composite laminated beams, *Expert Systems with Applications*, Vol. 38, No. 9, pp. 11837-11842, 2011.
- [23] L. Fausett, *Fundamentals of Neural Networks*, pp. 50-60, USA: Prentice-Hall, 1994.
- [24] R. Butler, A. T. Rhead, W. Liu, N. Kontis, *Compressive strength of delaminated aerospace composites*, Composites Research Unit, Department of Mechanical Engineering, University of Bath, 2012.
- [25] V. N. Burlayenko, T. Sadowski, FE modeling of delamination growth in interlaminar fracture specimens, *Budownictwo i Architektura*, Vol. 33, No. 2, pp. 95-109, 2008.
- [26] L. H. Yam, Z. Wei, L. Cheng, W. O. Wong, Numerical analysis of multi-layer composite plates with internal delamination, *Computers and Structures*, Vol. 82, No. 7, pp. 627-637, 2004.
- [27] M. A. Kouchakzadeh, S. Hideki, Compressive buckling analysis of rectangular composite laminates containing multiple delaminations, *Composite Structures*, Vol. 25, No. 3, pp. 249-255, 2000.
- [28] L. Cheng, J. Nicolas, Free vibration analysis of a cylindrical shell circular plate system with general coupling and various boundary conditions, *Journal of Sound and Vibration*, Vol. 155, No. 2, pp. 231-247, 1992.
- [29] J. Missaoui, L. Cheng, M. Richard, Free and forced vibration of a cylindrical shell with a floor partition, *Journal of Sound and Vibration*, Vol. 190, No. 1, pp. 21-40, 1996.
- [30] S. K. Panda, B. Pradhan, Mixed-mode analysis of superimposed thermo-elastic effects in fiber-reinforced composites with embedded interface delaminations, *Composite Structures*, Vol. 77, No. 4, pp. 570-580, 2007.
- [31] S. K. Panda, B. Pradhan, Thermoelastic analysis of the asymmetries of interfacial embedded delamination characteristics in laminated FRP composites, *Composites Part A: Applied Science and Manufacturing*, Vol. 38, No. 2, pp. 337-347, 2007.
- [32] S. K. Panda, B. Pradhan, The influence of ply sequence and thermoelastic stress field on asymmetric delamination crack growth behavior of embedded elliptical delaminations in laminated FRP composites, *Composites Science and Technology*, Vol. 66, No. 3, pp. 417-426, 2006.
- [33] D. Lin, R. G. Ni, R. D. Adams, Prediction and measurement of the vibrational damping parameters of carbon/glass fiber-reinforced plastics plates, *Journal of Composite Materials*, Vol. 18, No. 2, pp. 52-132, 1984.
- [34] M. Manhaj, *Principles of Neural Networks*, pp. 25-36, Tehran: Amirkabir University of Technology, 2012. (in Persian)
- [35] D. S. Nagesh, G. L. Datta, Prediction of weld bead geometry and penetration in shielded metal-arc welding using artificial neural networks, *Journal of Materials Processing Technology*, Vol. 123, No. 2, pp. 303-312, 2002.

مودهای مختلف، استثنایی نیز در مودهای بالا وجود دارد.

از دو روش آموزش لونبرگ - مارکوارت و پساننتشار خطای انعطاف‌پذیر برای آموزش شبکه عصبی و مقایسه پاسخ‌ها استفاده شد. از روش آموزش لونبرگ-مارکوارت نتایج بسیار دقیقی بدست آمد که با نتایج حاصل از تحلیل عددی تطابق خوبی دارد. بعد از آموزش شبکه، برای 33 داده، تست شبکه صورت گرفت که نتایج قابل قبولی را به همراه داشت.

## 8- مراجع

- S. Sridharan, *Delamination behavior of composites*, Published by Woodhead Publishing and Maney Publishing on behalf of The Institute of Materials, pp. 105-120, Minerals & Mining, Boca Raton Boston New York Washington: Elsevier, 2008.
- R. Krueger, P. J. Minguet, T. Kevin O'Brien, A method for calculating strain energy release rates in preliminary design of composite skin/stringer debonding under multi-axial loading, *Composite Structures: Theory and Practice*, Vol. 1383, No. 1, pp. 105-128, 2000.
- R. Krueger, P. J. Minguet, Analysis of composite skin-stiffener debound specimens using a shell/3D modeling technique, *Composite Structures*, Vol. 81, No. 1, pp. 41-59, 2007.
- H. Hosseini-Toudeshky, B. Mohammadi, B. Hamidi, H. R. Ovesy, Analysis of composite skin/stiffener debonding and failure under uniaxial loading, *Composite Structures*, Vol. 75, No. 1, pp. 428-436, 2006.
- S. Lauterbach, A. C. Orifici, W. Wagner, C. Balzani, H. Abramovich, R. Thomson, Damage sensitivity of axially loaded stringer-stiffened curved CFRP panels, *Composites Science and Technology*, Vol. 70, No. 2, pp. 240-248, 2010.
- W. Wagner, C. Balzani, Simulation of delamination in stringer stiffened fiber-reinforced composite shells, *Computers and Structures*, Vol. 86, No. 9, pp. 930-939, 2008.
- J. Bertolini, B. Castanié, J. J. Barrau, J. P. Navarro, Multi-level experimental and numerical analysis of composite stiffener debonding, Part 1: Non-specific specimen level, *Composite Structures*, Vol. 90, No. 4, pp. 381-391, 2009.
- H. T. Yang, C. C. He, Three-dimensional finite element analysis of free edge stresses and delamination of composite laminates, *Journal of Composite Materials*, Vol. 28, No. 15, pp. 1394-1412, 1994.
- O. S. Salawu, Detection of structural damage through changes in frequency: a review, *Journal of Structural Engineering*, Vol. 19, No. 9, pp. 718-723, 1997.
- A. Ryter, P. H. Kirkegaard, Vibrational-based inspection of a steel mast, *Proceedings of the 12th International Modal Analysis Conference*, Hawaii, pp. 1602-1608, 1994.
- A. Gomes, J. Silva, On the use of modal analysis for crack identification, *Proceedings of the 8th International Modal Analysis Conference*, FL USA, pp. 1108-1115, 1991.
- P. Cawley, R. D. Adams, The location of defects in structure from measurements of natural frequencies, *Journal of Strain Analysis*, Vol. 4, No. 2, pp. 49-57, 1979.
- D. Sanders, Y. I. Kim, R. N. Stubbs, Non-destructive evaluation of damage in composite structures using modal parameters, *Experimental Mechanics*, Vol. 32, No. 3, pp. 240-251, 1992.
- R. Ceravolo, A. D. Stefano, Damage location in structure through a connectivistic use of FEM modal analyses, *Journal of Analytical and Experimental Modal Analysis*, Vol. 10, No. 3, pp. 178-186, 1995.
- L. B. Crema, F. Mastroddi, Frequency-domain based approaches for damage detection and localisation in aeronautical structure, *Proceedings of the International Modal Analysis Conference*, Sem Societt for Experimental